International Multidisciplinary Conference Hosted from Manchester, England 25th June - 2024

https://conferencea.org

МЕТОДИКА ОЦЕНКИ ВЛИЯНИЯ ОТРАЖЕНИЯ ОТ ПОВЕРХНОСТИ РАБОЧЕГО ОРГАНА ОЧИСТИТЕЛЯ НА ХЛОПКА

Нуруллаева X. Т., Маматова Д. А.

Ташкентский институт текстильной и легкой промышленности

В работе предлагается методика исследования и алгоритм расчета влияния взаимодействия и отражения упругих и упруго-пластических продольных волн волоконец от поверхности рабочего органа очистителя.

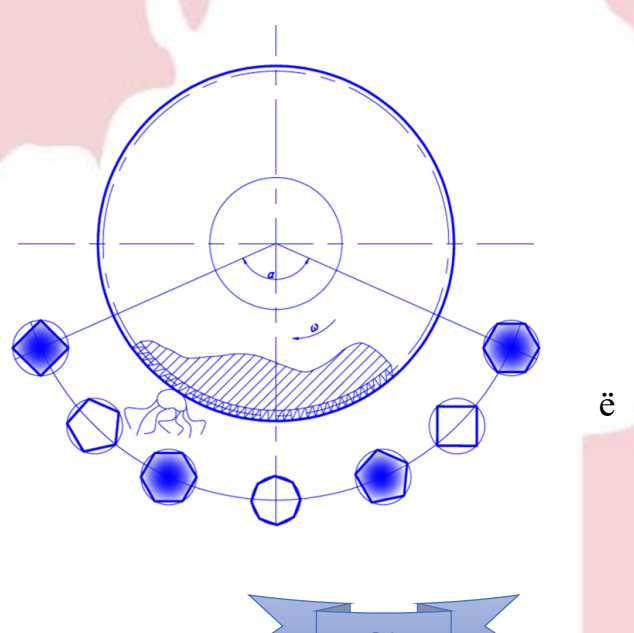
Конструкция колосниковой решетки волокнистого материала обеспечивает повышение очистительного эффекта и получение высококачественной продукции. Для выделения из хлопка, машинного и ручного сбора створок, коробочек, частиц стеблей, веточек и других крупных и мелких сорных примесей в отечественной и зарубежной практике используются колосниковые пильчатые очистители [2,3].

Как изветно, технологической оценкой проектируемого очистителя хлопка от крупного сора является очистительный эффект, волокнистость отходов, поврежденность семян и наличие в очищенным хлопке свободного волокна [4,5,6].

В процессе работы хлопок поступает к пильчатому барабану, зубья которого захватают хлопка, и протаскивает его по колосниковой решетке разными траекториями движения [7,8].

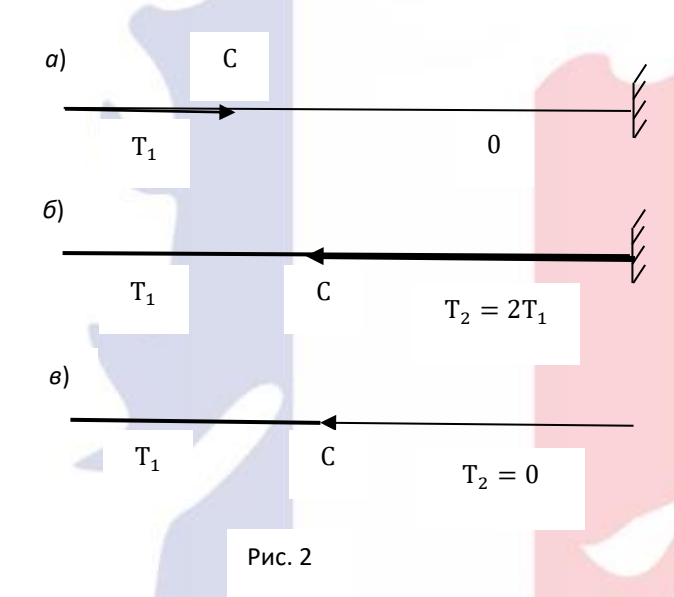
При контакте летучки с пилчатой поверхностью она захватывается одного до четырех зубьями пилчатой гарнитуры.

Одним из физических явлений, закрепленный хлопок на зубья пильчатой гарнитуры несутся непрерывным или скачкообразным изменениям натяжения, является волновые явления.



International Multidisciplinary Conference Hosted from Manchester, England 25th June - 2024

https://conferencea.org



Согласно теории распрстранения волн, если, например, по левому концу горизонтальной первоначально хлопковой волоконцы нанести продольный удар (рис. 1а), то действия удара вдоль волокна будет распространяться со скоростью звука в данной среде [1]. При этом, если правый конец хлопковой волоконцы жестко закреплена, то за фронтом отраженной волны натяжнение

удваивается, т.е. натяжение прямой волне скачком возрастает в два раза (рис. 1б). Правый конец волоконец свободно двигаеться, то за фронтом отраженной волны натяжение равняется нулю (рис, 1 в).

В работе [1], исходя из вышесказанного, выдвигается идея о том, что при взаимодействии волны нагрузки с преградой происходит её частичное отражение — часть волны будеть продолжать распространятся вдоль волокон, часть отражается, и будет двигаться в обратном направлении. Ниже, следуя постановкам задач принятых в работах [9,10], рассматриваются задачи о скольжении волокон по поверхности неподвижного колосникового решетки, с учетом различных волновых процессов, могущих стать причинами возникновения пластических напряжений. Предполагается, что гибкая связь обладает идеально-пластическим свойством и закон деформирования материала описывается схемой Прандтля.

За счет этого, сорные примеси ослобляются и отделяются от волокнистого материала и выпадают в межколосниковые зазоры, а очищенный хлопок снимается с поверхности пильчатого барабана щеточным барабаном и транспортируется по ходу процесса. И так посроен алгоритм установления зависимости параметров движения областей волокон

https://conferencea.org

рабочего органа очистителя крупного сора. Доказано, что при отражении двух равноправных упруго-пластических волн от поверхности рабочего органа очистителя крупного сора деформация удваиваются.

Отражение двух равноправных упругих волн. Пусть волны C_1 и C_6 (рис. 2 а) несут одинаковые по величине деформации $\varepsilon_1 = \varepsilon_6 = \varepsilon$. В результате взаимодействия этих волн в точке B в гибкой связи возникают две отраженные упругие волны N и M (рис. 2 б). В данном случае частицы областей 2 и 3 нити не двигаются (скольжение нити по поверхности рабочего органа очистителя крупного сора отсутствует), так как в точке B встречаются две равноправные волны, имеющие одинаковую интенсивность и несущие одинаковые деформации.

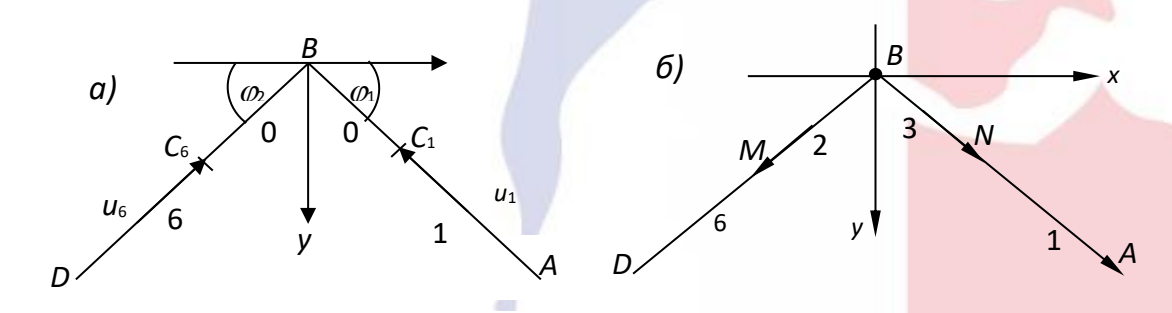


Рис. 2.

На фронтах волн N и M имеем соответственно:

$$x_3^{\bullet} - x_1^{\bullet} = a_0 (\varepsilon_1 - \varepsilon_3) \cos \varphi_1, \quad y_3^{\bullet} - y_1^{\bullet} = a_0 (\varepsilon_1 - \varepsilon_3) \sin \varphi_1; \tag{1}$$

$$x_2^{\bullet} - x_6^{\bullet} = a_0 (\varepsilon_2 - \varepsilon_6) \cos \varphi_2, \quad y_2^{\bullet} - y_6^{\bullet} = a_0 (\varepsilon_6 - \varepsilon_2) \sin \varphi_2. \quad (2)$$

В точках удара и в точке B имеют место следующие граничные условия:

$$u_1 = a_0 \mathcal{E}_1, \quad u_6 = -a_0 \mathcal{E}_6, \quad x_2^{\bullet} = y_2^{\bullet} = x_3^{\bullet} = y_3^{\bullet} = 0.$$

Подставляя эти условия в уравнения (1) и (2), получаем решение $\varepsilon_2 = \varepsilon_3 = 2\varepsilon$.

Отсюда следует важный вывод: деформация области гибкой связи волоконцы хлопка с посторонными примесями, возмущенной в результате взаимодействия двух продольных волн, имеющих одинаковую интенсивность, равна удвоенной деформации встречающихся волн. При этом частицы возмущенной области гибкой связи в относительном пространстве остаются неподвижными.

Отметим, что в данной задаче вместо уравнения (1) и (2) можно рассматривать следующие уравнения:

27th -ТЕСН-FEST-2024

International Multidisciplinary Conference Hosted from Manchester, England 25th June - 2024

https://conferencea.org

$$u_3 - u_1 = a_0 \left(\varepsilon_1 - \varepsilon_3 \right), \quad u_2 - u_6 = a_0 \left(\varepsilon_2 - \varepsilon_6 \right). \tag{3}$$

Подставляя в первое уравнение системы (3) $u_3=0$, $u_1=a_0\mathcal{E}_1$, а во второе уравнение $u_2=0$, $u_6=-a_0\mathcal{E}_6$, получим $\mathcal{E}_2=\mathcal{E}_3=2\mathcal{E}$.

Список литературы:

- 1. Махаммадрасул, Э., Дремова, Н. В., & Нуруллаева, Х. Т. (2021). МЕТОДИКА ОЦЕНКИ ВЛИЯНИЯ ВЗАИМОДЕЙСТВИЯ И ОТРАЖЕНИЯ ПРОДОЛЬНЫХ ВОЛН ОТ ПОВЕРХНОСТИ РАБОЧЕГО ОРГАНА. Universum: технические науки, (5-3 (86)), 50-53.
- 2. Джураев, А., Таджибаев, Р. Н., Нуруллаева, Х. Т., & Тошбоев, З. (2007). Колосниковая решетка очистителя волокнистого материала, патент IAP № 03338. Бюл, (4).
- 3. Камол, И., Мирзакабилов, Н. Х., & Нуруллаева, Х. Т. (2015). Применение одного типа сингулярного уравнения для решения задачи о движении текстильного продукта с вязкоупругими характеристиками. Іп Современные инструментальные системы, информационные технологии и инновации (pp. 132-135).
- 4. Нуруллаева, Х. Т. (2022). ВЛИЯНИЕ ЗАЗОРА РАБОЧИХ ОРГАНОВ НА ОЧИСТИТЕЛЬНЫЙ ЭФФЕКТ. Главный редактор: Ахметов Сайранбек Махсутович, д-р техн. наук; Заместитель главного редактора: Ахмеднабиев Расул Магомедович, канд. техн. наук; Члены редакционной коллегии, 51.
- 5. Mamatova, D., Nematov, A., & Nurullayeva, K. (2022). FULL-FACTORY EXPERIMENTAL STUDIES. European Journal of Interdisciplinary Research and Development, 2, 34-44.
- 6. Ахмедов, К. И., Нуруллаева, Х. Т., & Якубов, И. Д. (2017). ОПРЕДЕЛЕНИЕ ДЛИНЫ ПЛАСТИЧЕСКИХ ЗОН И РАЗРЫВНОЙ НАГРУЗКИ УПРУГОЙ НИТИ В ДРУГОЙ СРЕДЕ. In ПЕРСПЕКТИВЫ РАЗВИТИЯ ТЕХНОЛОГИЙ ОБРАБОТКИ И ОБОРУДОВАНИЯ В МАШИНОСТРОЕНИИ (pp. 27-30).
- 7. Нуруллаева, Х. Т. (2022). ТОЗАЛАГИЧ МАШИНАЛАРИДА ЎЗГАРУВЧАН УЗАТИШ НИСБАТЛИ ТАСМАЛИ УЗАТМАНИ ТАРАНГЛОВЧИ РОЛИК МЕХАНИЗМИНИ ИШЛАБ ЧИҚИШ. Conferencea, 9-11.
- 8. Нуриллаева, Х. Т. (2021). МОДЕРНИЗИРОВАННАЯ КОНСТРУКЦИЯ КОЛОСНИКОВ ОЧИСТИТЕЛЕЙ ХЛОПКА ОТ КРУПНОГО СОРА. Universum: технические науки, (5-3), 31-34.

27th -TECH-FEST-2024

International Multidisciplinary Conference Hosted from Manchester, England 25th June - 2024

https://conferencea.org

- 9. Исломова, Г., Нуруллаева, Х. Т., & Хамраева, С. А. (2018). УРАБОТКА НИТЕЙ В ТРИКОТАЖЕ. Наука и мир, 1(6), 28-30.
- 10.ИСЛАМОВА, Г. Х., НУРУЛЛАЕВА, Х. Т., НЕМАТОВ, А. К., & СИДРОВПА, И. А. (2019). ДИНАМИЧЕСКИЙ МОДЕЛЬ ПОДЪЕМНОГО МЕХАНИЗМА. In МОЛОДЕЖЬ И СИСТЕМНАЯ МОДЕРНИЗАЦИЯ СТРАНЫ (pp. 259-261).